

## مطالعه فرا ساختار سلولهای یونوسيت آبشن گربه ماهی (*Silurus glanis*) منطقه مهاباد

صابر خدابنده<sup>(۱)</sup>\* و محسن شهریاری مقدم<sup>(۲)</sup>

surp78@yahoo.com

۱- گروه بیولوژی دریا، دانشکده منابع طبیعی و علوم دریایی دانشگاه تربیت مدرس،

نور صنوق پستی: ۴۶۴۱۴-۳۵۶

۲- گروه شیلات، پژوهشکده تالاب بین‌المللی هامون، دانشگاه زابل

تاریخ دریافت: اردیبهشت ۱۳۸۵

تاریخ پذیرش: خرداد ۱۳۸۶

### چکیده

آبشن گربه ماهیان ۳۰۰ گرمی صید شده از سد مهاباد در خرداد ماه ۱۳۸۳ مورد مطالعه قرار گرفتند. بلافاصله بعد از صید، آبشن‌ها بریده و در محلول بوئن و گلوتارآلدهید بترتیپ برای بافت‌شناسی کلاسیک و میکروسکوب الکترونی ثبت شدند. جهت انجام بافت‌شناسی کلاسیک نمونه‌ها پس از انجام مراحل مختلف با هماتوکسیلین و اتوزین رنگ‌آمیزی و سپس با میکروسکوب نوری مطالعه و از آنها عکس تهیه شد. جهت انجام مطالعات میکروسکوب الکترونی گذاره (TEM) پس از انجام مراحل آماده‌سازی نمونه‌ها، برشهایی به ضخامت ۹۰ نانومتر از آنها تهیه شد و سپس توسط استات اورانیل و سیترات سرب رنگ‌آمیزی و توسط نقره پوشش داده شدند و در پایان مطالعه و عکسبرداری شدند. بررسی‌ها نشان داد که سلولهای اصلی آبشن گربه ماهی *Silurus glanis* عبارتند از: یونوسيت  $\alpha$  و  $\beta$ ، سلولهای کمکی، موکوسی، پیلار و سنگ فرشی. سلولهای یونوسيت در ناحیه پایه‌ای تیغه‌های آبشنی و فضاهای بین پایه‌ای قرار داشتند. ویژگی‌های فراساختاری سلولهای یونوسيت میین نقش فعال این سلولها در تنظیم اسمزی گربه ماهی می‌باشد.

**لغات کلیدی:** آبشن، سلول کلاید، *Silurus glanis*. مهاباد، ایران

## مقدمه

Chang *et al.*,) *Oreochromis mossambicus* ;(1999

Chen *et al.*,) *Chanos chanos* (Lee *et al.*, 1996;2001

(2004) صورت گرفته است.

نوع دیگری از سلولها به نام سلولهای کمکی در کنار سلولهای کلرايد وجود دارند که در ماهیهای آب شیرین معمول نیستند و بیشتر در گونه‌های دریایی یافت می‌شوند. این سلولها مانند سلولهای کلرايد دارای تعداد زیادی میتوکندری می‌باشند. سیستم توبولی آنها نسبت به سلولهای کلرايد کمتر توسعه یافته است. این سلولها نسبت به سلولهای کلرايد خیلی کوچکتر هستند و نقش حقیقی آنها هنوز به درستی مشخص نیست (Evans *et al.*, 2005)

تاکنون مطالعات زیادی در مورد سلولهای کلرايد در گونه‌های یوری هالین سازش داده شده به آب شیرین و آب دریا انجام شده است. این مطالعات وجود دو نوع از سلولهای کلرايد  $\alpha$  و  $\beta$  را در اپی‌تلیوم آبشنی این ماهیها نشان می‌دهند (Pisam *et al.*, 1987;Shikano & Fujio, 1998; Wong & Chan, 1999). مطالعات محدود انجام شده بر روی گونه‌های استووالین آب شیرین نیز دو نوع از سلولهای کلرايد را در اپی‌تلیوم آبشنی این گونه‌ها تشخیص دادند (Pisam *et al.*, 1990)

مسلمًا مطالعات مورفولوژیک راه اصلی برای فراهم کردن اطلاعات پایه‌ای است که می‌توانند راهنمایی برای مطالعات فیزیولوژیک باشند. با توجه به اهمیت مطالعه فراساختار سلولهای کلرايد در فرآیند تنظیم اسمرزی ماهی، هدف اصلی از انجام این پژوهش بررسی فراساختار سلولهای یونوسیت در اپی‌تلیوم آبشنی این ماهی می‌باشد، که البته در کنار آن نگاهی اجمالی به فراساختار دیگر سلولهای اپی‌تلیوم آبشن این گونه نیز صورت می‌پذیرد.

## مواد و روش کار

تعداد ۱۰ عدد گربه ماهی یکساله بطول متوسط ۲۰ سانتیمتر و به وزن ۳۰۰ گرم در خرداد ماه سال ۱۳۸۳ از سد مهاباد توسط تور پرتابی صید شدند. قسمتی از آبشن‌ها (۱۱ سانتیمترمکعب) بلافصله پس از صید بریده شد و در محلول بوکن ثبت گردیدند. نمونه‌ها بعد از ثبت شدن جهت آبگیری و نگهداری در الکل اتانول ۷۰ درصد قرار داده شدند مراحل

ایپی‌تلیوم آبشن ماهیهای استخوانی، سطحی برای انتشار گازهای تنفسی، دفع مواد زائد و تنظیم اسمرزی می‌باشد و تاکنون مطالعات زیادی در مورد آن صورت گرفته است (Isiag & Karakisi, 1998). اپی‌تلیوم آبشنی در ماهیهای استخوانی آب شیرین دارای اشکال مختلفی از سلولها می‌باشد که مهمترین آنها سلولهای موکوسی، سلولهای سنگ فرشی و سلولهای کلرايد می‌باشند. به این سلولها یونوسیت یا سلولهای غنی از میتوکندری نیز گفته می‌شود. از وظایف سلولهای موکوسی ایجاد محیطی مملو از یونها می‌باشد که باعث آسان شدن انتقال یونها در دیگر سلولها می‌شود (Goss *et al.*, 1995). سلولهای سنگ فرشی بیشترین تعداد را در اپی‌تلیوم آبشن دارا هستند. غشای رأسی سلولهای سنگ فرشی دارای چین خورددگی‌های کوچکی هستند که اغلب نظم و ترتیب خاصی دارند. این برآمدگی‌های رأسی احتمالاً سبب افزایش ناحیه سطحی کارکردی اپی‌تلیوم شده و ممکن است در چسبیدن موکوس به سطح نقش داشته باشند. این سلولها قادر تعداد زیادی میتوکندری می‌باشند. اما دارای وزیکولهای سیتوپلاسمی زیادی بوده و دستگاه گلزاری واضحی دارند. سلولهای سنگ فرشی در بی‌آرواره‌ها (Agnata) و الاسمو برانش‌ها (Elasmobranchii) دارای وزیکولهای انتهایی حاوی موکوس می‌باشند. سلولهای سنگ فرشی دارای سطحی شبیه به اثر انگشت بوده و نقش اصلی این سلولها تبادل گازهای تنفسی می‌باشد. در مطالعات جدید بر روی اپی‌تلیوم آبشن ماهیهای استخوانی آب شیرین مشخص شده است که برخی از سلولهای سنگ فرشی ممکن است نقش فعال در جذب یونها و انتقال سلولهای کلرايد باز داشته باشند (Evans *et al.*, 2005). اولین بار در دهه ۱۹۳۰ مطالعه شدند (Isiag & Karakisi, 1998). سلولهای کلرايد در مقایسه با سلولهای سنگ فرشی فضای بسیار کمتری را اشغال می‌کنند (Evans *et al.*, 2005). این سلولها دارای ظاهر بزرگ و استوانه‌ای شکل، میتوکندری‌های زیاد، میکرووولی و حفره رأسی به همراه چین خورددگی‌های قاعده‌ای-جانبی می‌باشند (Chen ; Shikano & Fujio, 1998) Khodabandeh *et al.*;McCormick, 1990; *et al.*, 2004 2005b). تاکنون مطالعات زیادی در مورد ساختار و عملکرد سلولهای کلرايد در گونه‌های مختلفی مانند: *Lebistes reticulatus* & Isiag) *Branchydanio rerio* (Pisam *et al.*, 1987) Wong & Chan,) *Anguilla japonica* (Karakisi, 1998

رشته آبشی دارای یک ردیف از تیغه‌های آبشی با ارتفاع کم (۸۰ تا ۱۰۰ میکرومتر) و بصورت کشیده در دو سمت خود می‌باشد (اشکال ۲ و ۳). ارتفاع تیغه‌های باد شده از ناحیه پایه‌ای رشته‌ها به سمت رأسی بتدريج کم شده و قسمت رأسی فاقد تیغه می‌باشد (اشکال ۱ و ۲). تعداد تیغه‌ها در طول رشته‌ها از هر طرف ۲۷ تا ۳۰ عدد در میلیمتر بود. میزان ضخامت هر تیغه و فضاهای بین آنها بترتیب ۱۵ و ۲۰ میکرومتر اندازه‌گیری شد (اشکال ۱، ۳، ۴ و ۵). سلولهای سنگ فرشی بصورت منظم با آرایش متعددالمرکز در اپی‌تیلیوم آبشی پراکنده شده‌اند و حتی با درشت نمایی کم هم تشخیص این سلولها با ظاهری اثر انگشتی براحتی قابل تشخیص می‌باشد (اشکال ۶ و ۸). سلولهای یونوسیت بصورت پراکنده در بین سلولهای سنگ فرشی قرار دارند. دو نوع از سلولهای یونوسیت براساس مورفوژوئی سطح رأسی آنها در اپی‌تیلیوم آبشن تشخیص داده شدند (اشکال ۷ و ۹). سلولهای نوع اول تقریباً هم سطح با سلولهای سنگ فرشی بوده و دارای حفره رأسی نیستند (اشکال ۸ و ۹). سلولهای نوع دوم نسبت به سلولهای سنگ فرشی مجاورشان پایین‌تر قرار گرفته‌اند و حفره رأسی در این سلولها بیضوی شکل تا گرد و دارای مقدار قابل ملاحظه‌ای کربوهیدرات می‌باشد (اشکال ۶ و ۷). نتایج فراساختار سلولی حاصل از میکروسکوپ الکترونی گذاره نشان داد که سیتوپلاسم سلولهای سنگ فرشی روشن بوده، میتوکندری زیادی ندارند ولی تعداد زیادی وزیکول در آن قابل مشاهده است و اتصال سلولهای سنگ فرشی با یکدیگر و سایر سلولها از نوع tight می‌باشد (شکل ۱۸). مشاهده برشهای رنگ‌آمیزی شده با هماتوکسیلین و اوزین توسط میکروسکوپ نوری نشان داد که سلولهای یونوسیت در ناحیه پایه‌ای تیغه‌های آبشی و فضاهای بین تیغه‌ای قرک دارند (شکل ۱۰). در پرش طولی قسمتی از یک تیغه آبشی، دو لایه پوششی از سلولهای سنگ فرشی دیده می‌شود که در رو به روی هم فرار گرفته‌اند و در بین آنها یک سری سلولهای منفرد ستونی قرار دارند (شکل ۱۱). در فضای بین این دو اپی‌تیلیال و سلولهای پیلار مویرگهای خونی حاوی سلولهای خونی دیده می‌شوند (شکل ۱۱). در سلولهای یونوسیت از نظر فراساختاری شبکه آندوپلاسمی به خوبی توسعه یافته است و دارای مقدار قابل توجهی میتوکندری می‌باشند و زیکولهای سیتوپلاسمی رأسی نیز در این سلولها به خوبی قابل مشاهده هستند. هم چنین تعداد زیادی ریبوزوم در ناحیه رأسی این سلولها مشاهده می‌شود. هسته در این سلولها فاقد شکل مشخصی می‌باشد در

آبگیری با استفاده از الكلهای ۹۵، ۹۰ و ۱۰۰ درصد و نهایتاً بال بوتیلیک انجام گرفت. نمونه‌ها بعد از ۹ ساعت نگهداری در داخل پارافین مایع (داخل اون با دمای ۶۰ درجه سانتیگراد) در داخل پارافین قالب‌گیری شده و با استفاده از میکروتوم برشهای ۵ میکرومتری از آنها تهیه گردید. پرش‌ها روی لامهای پلی-ال‌لیزینه چسبانده شده و در اون در دمای ۳۷ درجه سانتیگراد نگهداری شدند. لامها بوسیله هماتوکسیلین و اوزین رنگ‌آمیزی گردیدند و با استفاده از میکروسکوپ نوری مطالعه و عکسبرداری شدند (Khodabandeh et al., 2005a & b).

جهت آماده‌سازی برای بررسی با میکروسکوپ الکترونی، آبشن گریه ماهی در گلوتارآلدهید ۵ درصد، حاوی  $\frac{1}{2}$  مول بافر کاکودیلات سدیم با  $7/4$  pH ثبت گردید. سپس نمونه‌ها در بافر کاکودیلات آب کشیده شده و در داخل محلوط ( $V/V$ ) ۲ درصد تراکسید اسمیوم و  $1/45$  مول بافر کاکودیلات سدیم به مدت یک ساعت مجدد تثبیت شدند. نمونه سپس در سری الكل اتانول آبگیری شده در داخل Epon 812 قالب‌گیری شدند. از قالب‌ها با استفاده از الترا میکروسکوپ Reichert OMU2 برشهای خیلی طوفی به ضخامت ۹۰ نانومتر تهیه شده و بعد از قرار دادن روی صفحات توری مسی (Grids) بوسیله استات اورانیل و سیترات سرب رنگ‌آمیزی شدند نمونه‌ها با میکروسکوپ الکترونی JEOL 1200 EX2 مطالعه شده و از آنها عکسبرداری انجام گرفت (Khodabandeh et al., 2005a) (Glauret, 1974; & b).

نمونه‌ها در گلوتارآلدهید ۴ درصد حاوی بافر فسفات  $1/10$  مولار دارای ۵ درصد سوکروز با  $7/4$  pH ثبت شدند و در جای سرد نگهداری شدند و سپس به مدت ۱ ساعت در ترا اکسید اسمیوم ۲ درصد، حاوی  $1/1$  مولار بافر فسفات با  $7/4$  pH، حاوی ۵ درصد سوکروز مجدد تثبیت شدند. سپس نمونه‌ها در بافر قرار گرفتند و بعد از آن چندین بار با آب مقطر شسته و در سری‌های اتانول آبگیری شدند. سپس در دستگاه  $CO_2$  Baltec Critical- Point Dryer 030 روی آنها بوسیله نقره با Baltic Sutter Capter 050 JEOL ISM- 6300F شد. نمونه‌ها توسط میکروسکوپ نگاره Khodabandeh et al. (2005b)

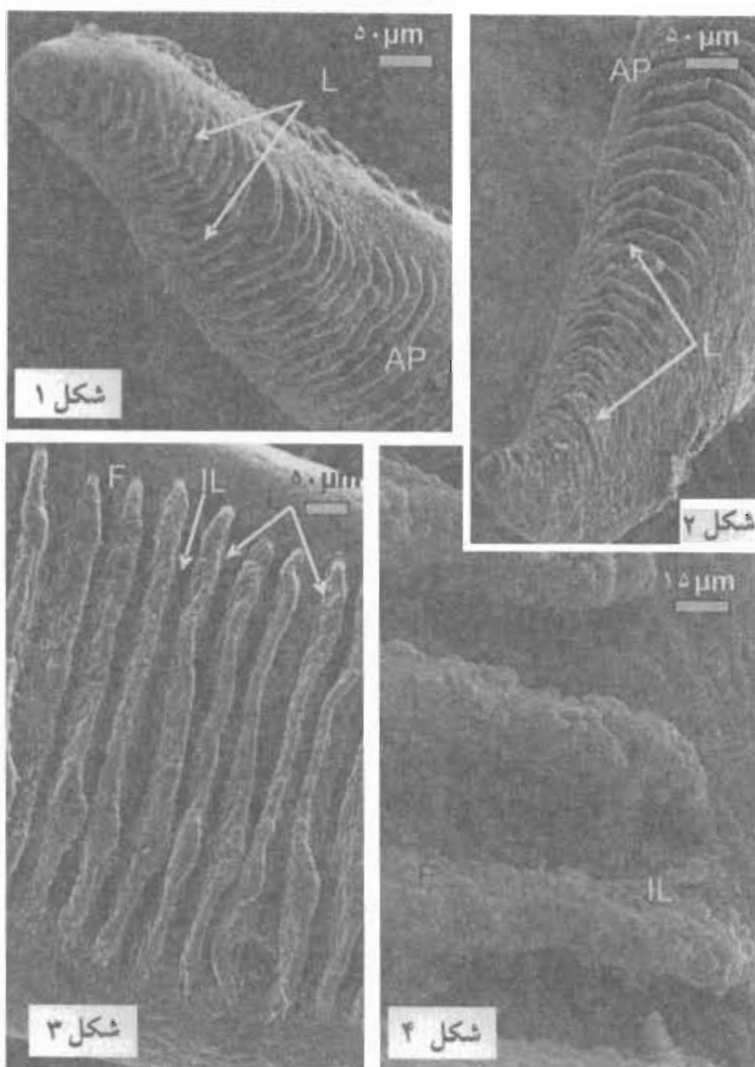
(Glauret, 1974; al., 2005b)

## نتایج

نتایج میکروسکوپ الکترونی نگاره نشان داد که هر رشته آبشنی دارای شبکی شبیه کله قند می‌باشد (اشکال ۱ و ۲)، هر

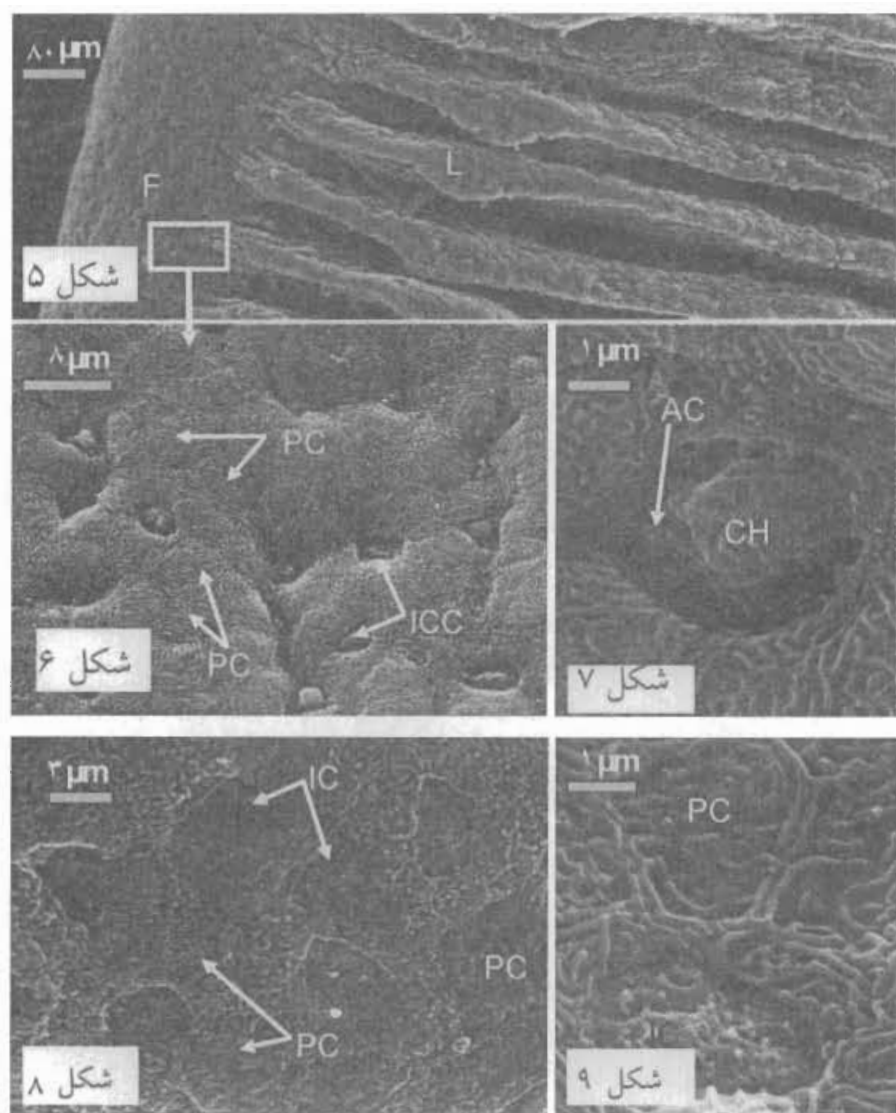
سلولهای کمکی نیز در کنار سلولهای یونوسيت مشاهده شدند. این سلولها پهن و کشیده بوده دارای مقدار زیاد میتوکندری و شبکه آندوبلاسمی هستند (شکل ۱۶ و ۱۷). سلولهای موکوسی در اپی تلیوم آبشنشی توسط میکروسکوپ نوری تشخیص داده شدند (شکل ۱۰). این سلولها نسبت به سلولهای یونوسيت دارای اندازه بزرگتر بوده و سیتوبلاسم آنها نسبت به سلولهای یونوسيت بسیار روشن تر است.

سلولهای یونوسيت نوع اول بیشتر تجمع میتوکندری‌ها در ناحیه رأسی بوده و حفره رأسی وجود ندارد (اشکال ۱۲ و ۱۳). سلولهای یونوسيت نوع دوم دارای تعداد زیادی میتوکندری پراکنده در سیتوبلاسم بوده و غنی از شبکه آندوبلاسمی و ریبوزومها می‌باشند (اشکال ۱۵، ۱۴ و ۱۶). این سلولها هم چنین دارای حفره رأسی می‌باشند (شکلهای ۱۵ و ۱۶).



شکلهای ۱ و ۲: تصاویر میکروسکوپ الکترونی نگاره (SEM)، یک رشته آبشنش کله قندی شکل که تیغه‌های آبشنش گوتاه در دو سمت آن قرار گرفته‌اند. قسمت رأسی فاقد تیغه می‌باشد و ارتفاع نیمه‌ها از قسمت پایه‌ای به سمت رأس بتدريج کم می‌شود.

شکلهای ۳ و ۴: تصاویر میکروسکوپ الکترونی نگاره (SEM)، شانده‌نده تیغه‌های آبشنش و فضاهای بین آنها می‌باشد. بخش رأسی (AP)، رشته آبشنش (F)، منطقه بین تیغه‌ای (IL)، تیغه آبشنش (L).



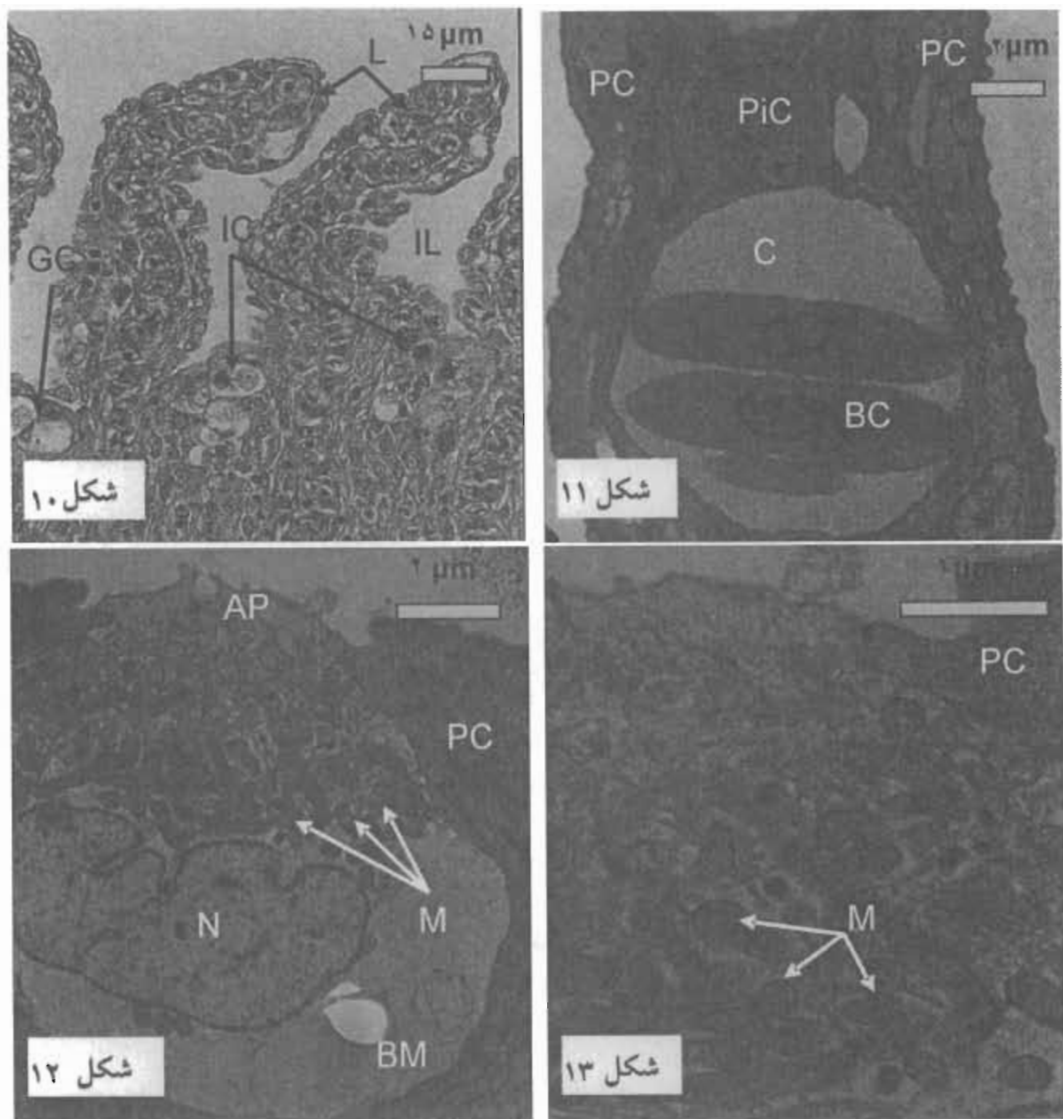
شکل ۵: تصویر میکروسکوب الکترونی نگاره (SEM)، نشاندهنده نیفهای آبشی و فضاهای بین آنها می‌باشد.

شکل ۶: تصویر میکروسکوب الکترونی نگاره (SEM)، نمای نزدیک، اپیتیلوم آبشی، سلولهای سنگ فرشی با ظاهر اثر انگشتی شکل برآختی قابل تشخیص هستند. سلولهای بونوسبت  $\beta$  نیز با حفره و مقدار زیاد کربوهیدرات رأسی به آسانی قابل شناسایی هستند.

شکل ۷: تصویر میکروسکوب الکترونی نگاره (SEM)، یک سلول بونوسبت  $\beta$  با بزرگ نمایی بیشتر از شکل ۶، حفره و کربوهیدرات‌های رأسی قابل مشاهده است.

شکل ۸: تصویر میکروسکوب الکترونی نگاره (SEM)، اپیتیلوم آبشی، سلولهای سنگ فرشی به آسانی قابل تشخیص هستند. سلولهای بونوسبت  $\alpha$  که هم سطح با سلولهای سنگ فرشی مجاورشان قرار گرفته‌اند و قادر حفره و کربوهیدرات‌های رأسی می‌باشند، مشاهده می‌شوند.

بخش دأسی (AC)، کربوهیدرات (CH)، رشته آبشی (F)، سلول بونوسبت (IC)، حفره رأسی سلول بونوسبت (ICC)، نیفه آبشی (L)، سلول سنگ فرشی (PC).

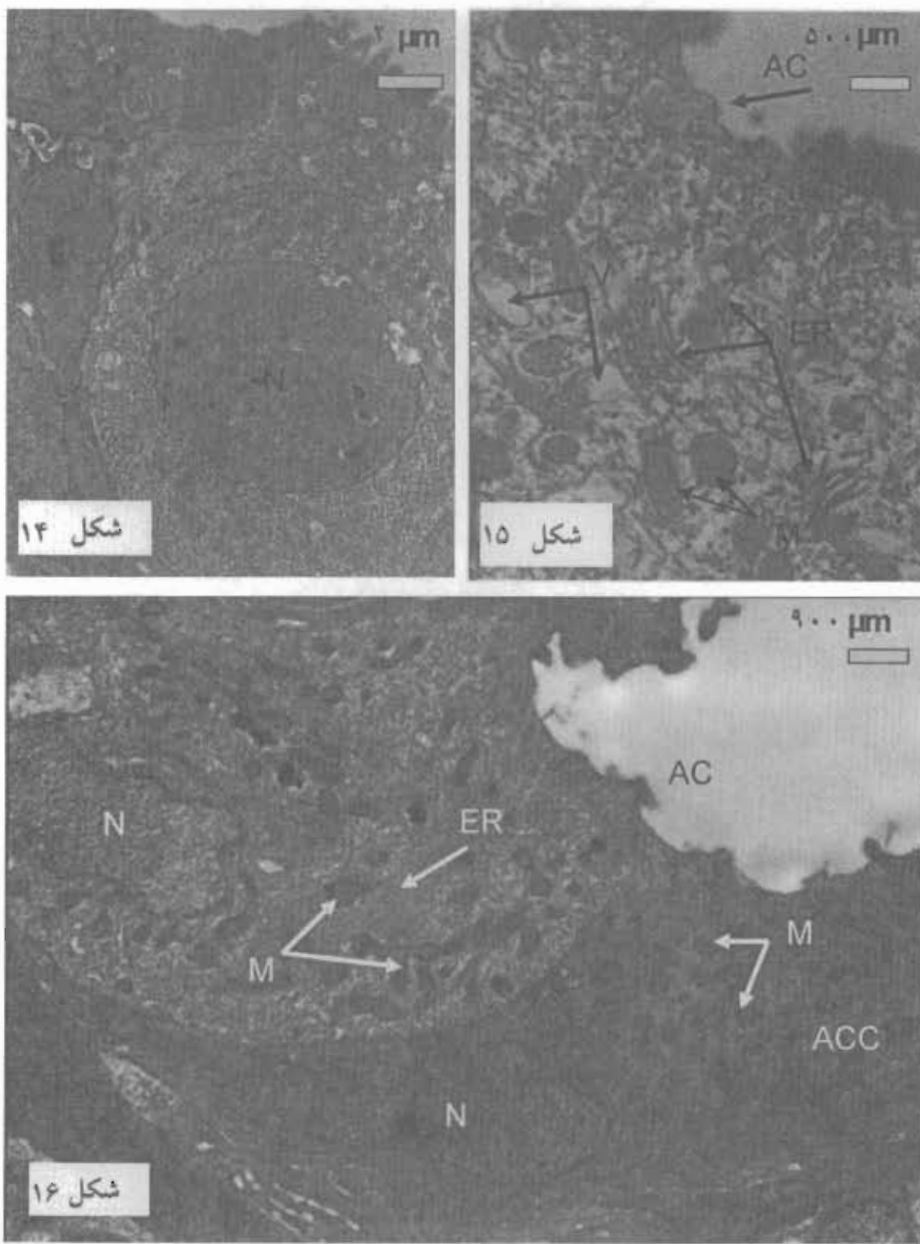


شکل ۱۰: تصویر بافت‌شناسی کلاسیک (H & E)، برش طولی از رشته آبتشی، سلولهای یونوسيت در فضاهای بین تیغه‌ای مشاهده می‌شوند. سلولهای جامی شکل نیز با ظاهر روشن و بزرگ قابل تشخیص می‌باشد.

شکل ۱۱: تصویر میکروسکوپ الکترونی گذاره (TEM)، برش طولی از یک تیغه آبتشی. دو لایه پوششی از سلولهای سنگ فرشی دیده می‌شود که در رو به روی هم قرار گرفته‌اند و در بین آنها یک سری سلولهای متعدد ستونی قرار دارند. در فضای بین این دو اپیتلیال و سلولهای پیلار مویرگهای خونی حاوی سلولهای خونی دیده می‌شوند.

شکل ۱۲: تصویر میکروسکوپ الکترونی گذاره (TEM)، سلول یونوسيت نوع اول ( $\alpha$ ) تجمع میتوکندری‌ها در ناحیه رأسی بوده و حفره رأسی وجود ندارد.

شکل ۱۳: تصویر میکروسکوپ الکترونی گذاره (TEM)، قسمت رأسی سلول یونوسيت شکل ۱۲ با بزرگ نمایی بیشتر، تجمع میتوکندری‌ها در این قسمت و سلولهای کمکی در کنار این سلولها مشاهده می‌شوند. پخش رأسی (AP)، سلول خونی (BC)، غشای پایه (BM)، سلول جامی شکل (GC)، سلول یونوسيت (IC)، منطقه بین تیغه‌ای (IL)، تیغه آبتشی (L)، میتوکندری (M)، هسته (N)، سلول سنگ فرشی (PC)، سلول ستونی (PIC).

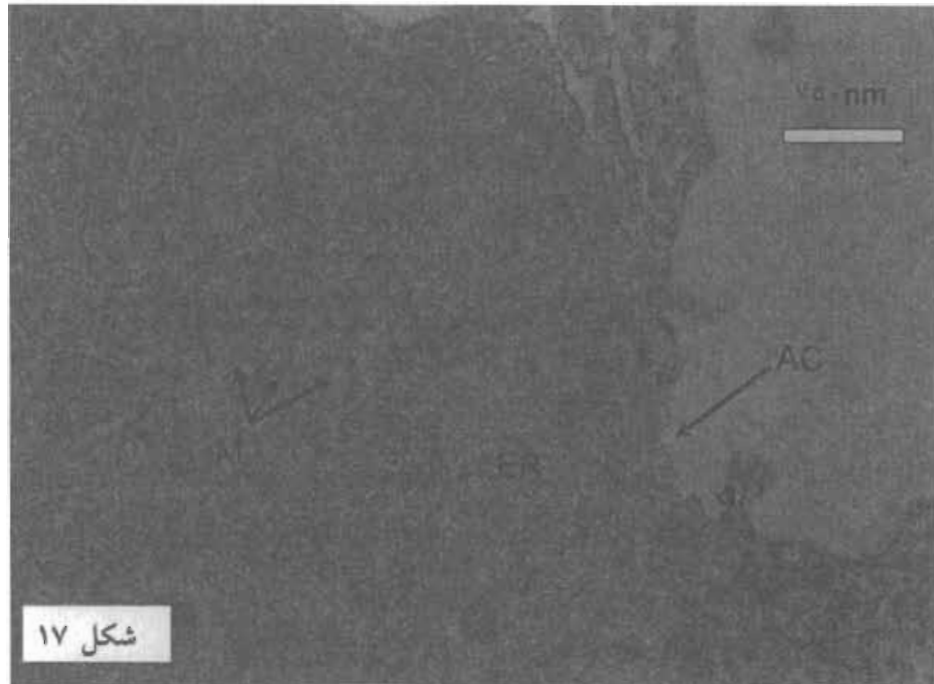


شکل ۱۴: تصویر میکروسکوپ الکترونی گذاره (TEM)، سلول یونوسيت نوع دوم ( $\beta$ ) که در این سلول تعداد زیادی میتوکندری پراکنده در سیتوپلاسم وجود دارد

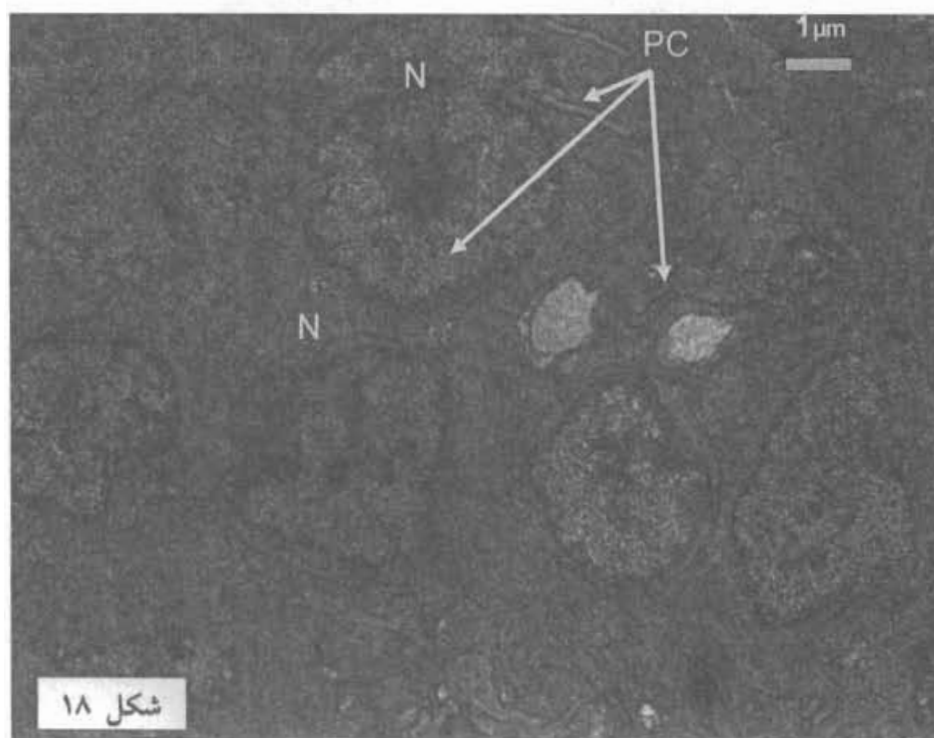
شکل ۱۵: قسمت رأسی از یک سلول یونوسيت نوع دوم ( $\beta$ )، شبکه آندوپلاسمی، میتوکندری، وزیکولهای سیتوپلاسمی و حفره رأسی مشاهده می‌شوند.

شکل ۱۶: تصویر میکروسکوپ الکترونی گذاره (TEM)، سلول یونوسيت نوع دوم ( $\beta$ ) با حفره رأسی کاملاً مشخص به همراه یک سلول کمکی در کنار آن. سلول کمکی دارای شکل پهن و کشیده بوده حاوی مقدار زیاد میتوکندری و شبکه آندوپلاسمی می‌باشد.

حفره رأسی (AC)، سلول کمکی (ACC)، شبکه آندوپلاسمی (AR)، میتوکندری (M)، هست (N)، واکوئل (V).



شکل ۱۷



شکل ۱۸

شکل ۱۷: تصویر میکروسکوپ الکترونی گذاره (TEM)، سلول یونوسیت نوع دوم ( $\beta$ )، تراکم بالای میتوکندری و شبکه آندوبلاسمی مشاهده می شود.

شکل ۱۸: تصویر میکروسکوپ الکترونی گذاره (TEM)، برش عرضی از سلولهای سنگ فرشی، به سیتوپلاسم روشن، میتوکندری کم و اتصان سلولهای سنگ فرشی با یکدیگر که از نوع محکم می باشد، هسته ها نیز در این برش مشاهده می شوند.

(PC)، شبکه آندوبلاسمی (ER)، میتوکندری (M)، هسته (N)، سلول سنگ فرشی (PC).

## بحث

میکروویلی های کوچک هستند (Chang *et al.*, 2001) و بیان کردند که این سلولها شبیه به سلولهای کلراید  $\beta$  در مطالعه Pisam و همکاران در سال ۱۹۹۵ می باشند. در مطالعه حاضر براساس مورفولوژی سطح رأسی سلول های یونوسیت نوع دوم، این سلول ها به علت داشتن کربوهیدرات های رأسی زیاد، میکروویلی های رأسی پراکنده و حفره رأسی گرد تا بیضوی معادل سلولهای نوع دوم مطالعه Lee و همکاران در سال ۱۹۹۶ را براساس مطالعه Chang و همکاران (2001) سلولهای کلراید نوع  $\beta$  نامید. براساس این مطالعات سلولهای سلولهای نوع اول مطالعه حاضر را می توان معادل سلولهای کلراید نوع  $\alpha$  در نظر گرفت. Pisam و همکاران در سال ۱۹۸۷ بیان کردند که دو نوع سلول کلراید در آبشنی *Oreochromis mossambicus* وجود دارد. سلولهای کلراید  $\alpha$  در این ماهی هنگامی که از آب شیرین به آب شور منتقل می شوند، افزایش اندازه پیدا می کنند در حالیکه سلولهای کلراید  $\beta$  چهار کاهش تدریجی می شوند و کم کم از بین می روند که نشاندهنده نقش محوری سلولهای کلراید  $\beta$  در محیط هیپertonیک می باشد (Pisam *et al.*, 1987). محیط زندگی گریه ماهیهای مورد مطالعه در این تحقیق محدود به آب شیرین بوده لذا در طول زندگی با چالش تغییرات شوری مواجه نیستند، بنابراین از نظر فیزیولوژیک استتوهالین می باشند. در مطالعه حاضر دو نوع سلولهای کلراید  $\alpha$  و  $\beta$  تشخیص داده شدند که با مطالعات پیشین بر روی گونه های یوری هالین و استنوهالین آب شیرین مطابقت دارد.

اگرچه سلولهای کمکی اغلب در اپیتلیوم آبشنی گونه های دریایی یافت می شوند، این سلولها هم چنین در اپیتلیوم آبشنی آزاد ماهیان یوری هالین آب شیرین (Pisam *et al.*, 1987) و *Salmo* چنین در دو گونه *Tilapia* (Cioni *et al.*, 1991) و *trutta* (Pisam *et al.*, 2000) نیز تشخیص داده شده اند. براساس مطالعات انجام شده بر روی گونه های استنوهالین آب شیرین (Loach, Gulgeon) سلولهای کمکی در اپیتلیوم آبشنی این گونه ها گزارش نشده اند (Pisam *et al.*, 1990) اما در مطالعه حاضر سلولهای کمکی در کنار سلولهای کلراید تشخیص داده شدند که از این نظر با یافته های قبلی تفاوت وجود دارد و برای اولین بار است که سلولهای کمکی در اپیتلیوم آبشنی یک گونه استنوهالین آب شیرین مشاهده می شوند. همانند یونوسیت ها، سلولهای کمکی دارای مقدار زیادی یونوسیت ها،

نتایج نشان می دهد که در آبشنی گریه ماهی *Silurus glanis* تعداد و ارتفاع تیغه ها بطور محسوسی پایین می باشد که می تواند به دلیل عدم نیاز این آبزی به تمادلات زیاد گازی با توجه به فعالیت کم آن باشد. مطالعات قبلی نیز نشان داده اند که این دو عامل در گونه های مختلف با توجه به فعالیت آنها متفاوت است (Hawkings *et al.*, 2003) نزدیک آنها دیواره تیغه ها بسیار نازک است و در حدود ۰/۵۳ تا ۱ میکرون ضخامت دارد. اما در بسیاری از ماهیها ضخامت دیوارهها ۲ تا ۴ میکرون می باشد. در بعضی از گونه های کنیزی ضخامت غشای تنفسی ۵ تا ۶ میکرون و در بسیاری از الاسموبرانش ها ضخامت تیغه ها ۵ تا ۱۱ میکرون است (ستاری و همکاران، ۱۳۸۲). تعداد تیغه ها در یک ماهی تون یک کیلو گرمی ۱۲ برابر پیشتر از toad fish است (Evans *et al.*, 1999) مطالعه سطح رأسی سلولهای سنگ فرشی توسط میکروسکوپ الکترونی نگاره مطالعات قبلی در مورد فراساختار این سلولها را تأیید می کند (Goss *et al.*, 1995). در تصویرهای میکروسکوپ الکترونی گذاره این سلولها سیتوپلاسم روشن تر نسبت به سلولهای یونوسیت دارند که به دلیل تراکم کمتر (بویزه میتوکندری) این سلولها نسبت به سلولهای یونوسیت می باشد. براساس مورفولوژی و فراساختار دو نوع از سلولهای یونوسیت در اپیتلیوم آبشنی گریه ماهی مشاهده شد. Lee و همکاران در سال ۱۹۹۶ (سلولهای کلراید آبشنی *Tilapia* (*mossambicus*) سازگار شده به آب شیرین را توسط میکروسکوپ الکترونی مطالعه کردند. براساس مورفولوژی سطح رأسی سلولهای کلراید سه نوع از این سلولها را تشخیص دادند. نوع اول (wavy convex) نوع دوم (shallow basin) و نوع سوم (deep hole) در حالیکه در ماهی سازگار شده به آب دریا تنها سلولهای کلراید نوع سوم وجود داشت (Lee *et al.*, 1996) و همکاران نیز در سال ۲۰۰۱ (Chang *et al.*, 2001) اپیتلیوم آبشنی همین گونه سازگار شده به آب شیرین با ترکیب یونی مختلف، انجام دادند. آنها نیز براساس مورفولوژی سطح رأسی همان سه نوع یاد شده از سلولهای کلراید را با تراکم های مختلف در محیط هایی با غلظت های مختلف یو تی تشخیص دادند و بیان کردند که سلولهای کلراید نوع دوم در محیط با غلظت کم  $Ca^{++}$  فراوان می باشند. این نوع از سلولهای کلراید در قسمت رأسی دارای غشایی برجسته و منفذ بیضوی شکل به همراه مقدار زیادی کربوهیدرات های رأسی به همراه

- milk fish, *Chanos chanos* (Forsskal, 1775). Zoological Studies. Vol. 43, No. 4, pp.772-777.
- Cioni, C.; De Merich, D.; Cataldi, E. and Sataudella, S. , 1991.** Fine structure of chloride cells in freshwater-and seawater-adapted *Oreochromis niloticus* (Linnaeus) and *Oreochromis mossambicus* (Peters). Journal of Fish Biol. Vol. 39, pp.197-209.
- Evans, D.H.; Piermarini, P.M. and Potts, W.T.W., 1999.** Ionic transport in the fish gill epithelium. Journal of Experimental Zoology. Vol. 283, pp.641-652.
- Evans, D.H.; Piermarini, P.M. and Choe, K.P. , 2005.** The multifunctional fish gill: Dominant site of gas exchange, osmoregulation, acid-base regulation, and excretion of nitrogenous waste. Physiological Review. Vol. 85, pp.97-177.
- Glauret, M.A. , 1974.** Practical methods in electron microscopy. North Holland Publishing, Amsterdam. Oxford. Vol. 3, 353P.
- Goss, G.; Perry, S. and Laurent, P. , 1995.** Ultrastructural and morphometric studies on ion and acid-base transport processes in freshwater fish. In: Wood and Shuttleworth, eds. Cellular and molecular approaches to fish ions regulation. Academic Press. pp.257-284.
- Hawkings, G.S.; Galvez, F. and Goss, G.G. , 2003.** Seawater acclimation causes independent alterations in  $Na^+ / K^+$  - ATPase and  $H^+$  ATPase activity in isolated mitochondria-rich cells subtypes of the rainbow trout gill. The Journal of Experimental Biology. Vol. 207, pp.905-912.
- Isiag, S.; Karakisi, H. , 1998.** Fine structure of the chloride cell in the gill epithelium of *Brachydanio rerio* (Cyprinidae, Teleostei). Tr. J. of Veterinary and Animal Sciences. Vol. 22, pp.431-436.
- میتوکندری هستند، اما این سلولها نسبت به یونوسیت‌ها کوچک‌تر بوده و سیستم توبولی آنها کمتر توسعه یافته است و دارای مقدار کمتری  $Na^+/K^+$ -ATPase در مقایسه با سلولهای کلراید می‌باشند. طبیعت واقعی سلولهای کمکی قابل بحث است. مثلاً در برخی گونه‌ها مثل قزل‌آلای قهوه‌ای (*Salmo trutta*) سلولهای کمکی به نظر می‌رسد سلولهای مستقل و کاملی باشند در حالیکه در گونه‌ای مانند تیلابیا شواهد بیانگر آن است که سلولهای کمکی تنها یک مرحله تکوینی از سلولهای کلراید باشند (Evans *et al.*, 2005). پیشنهاد شده است که سلولهای کمکی مراحل اولیه سلولهای کلراید هستند (Evans *et al.*, 1999). در مطالعه حاضر نیز از آن جایی که این سلولها دارای سیتوپلاسم متراکم بوده و دارای مقادیر زیادی میتوکندری و شبکه آندوپلاسمی می‌باشند ولی دارای اندازه کوچکتر نسبت به سلولهای یونوسیت هستند، با فرضیه فوق هم خوانی دارد. اما در مورد نقش آنها در اپیتلیوم آبشنشی گربه ماهی نمی‌توانیم اظهار نظر کنیم و برای انجام این کار نیاز به مطالعات بیشتر در مورد این سلولها در این ماهی می‌باشد.
- عدم توسعه کامل تیغه‌های آبشنشی (در مقایسه با ماهیان فعالی مثل تون ماهیان و آزاد ماهیان) در این ماهی با میزان حرک و نحوه زیست آن مطابقت دارد. سلولهای اصلی آبشنش گربه ماهی *S. glanis*، یونوسیت  $\alpha$  و  $\beta$ . سلولهای کمکی، موکوسی، سلولهای سنگ فرشی می‌باشند سلولهای یونوسیت در ناحیه پایه‌ای تیغه‌های آبشنشی و فضای بین پایه‌ای قرار دارند. ویژگی‌های فراساختاری سلولهای یونوسیت مبنی نقش فعال این سلولها در تنظیم اسمرزی این ماهی هیپرتونیک است.
- ### منابع
- ستاری, م.: شاهسونی, د. و شفیعی, ش. . ۱۳۸۲. ماهی شناسی, تشریح و فیزیولوژی. جلد ۱، انتشارات نقش مهر. صفحات ۱۶۵ تا ۱۷۵.
- Chang, I.C.; Lee, T.H.; Yang, C.H.; Wei, Y.Y.; Chou, F.I. and Hwang, P.P. , 2001. Morphology and function of gill mitochondria-rich cells in fish acclimated to different environments. Physiological and Biochemical Zoology. Vol. 74, No. 1, pp.111-119.
- Chen, C.N.: Lin, L.Y. and Lee, T.H. , 2004. Ionocyte distribution in gills the euryhaline

- Khodabandeh, S.; Charmantier, G.; Blasco, C.; Grousset, E. and Charmantier-Danures M. , 2005a.** Ontogeny of the antennal glands in the crayfish *Astacus leptodactylus* (Crustacea, decapoda), anatomical and cell differentiation. Cell and Tissue Research. Vol. 319, pp.153-165.
- Khodabandeh, S.; Ktnik, M.; Aujoulat, F.; Charmantier, G. and Charmantier-Danures, M. , 2005b.** Ontogeny of the antennal glands in the crayfish *Astacus leptodactylus* (Crustacea, Decapoda): Immunolocalization of  $\text{Na}^+/\text{K}^+$ -ATPase, Cell and Tissue Research. Vol. 319, pp.153-16.
- Lee, T.H.; Hwang, P.P. and Lin, H.C. Huang, F.L. , 1996.** Mitochondria- rich cells in the branchial epithelium of the teleost, *Oreochromis mossambicus*, acclimated to various hypotonic environments. Fish Physiol Biochem. Vol. 15, pp.513-523.
- McCormick, S.D. , 1990.** Fluorescent labelling of  $\text{Na}^+/\text{K}^+$  - ATPase in intact cells by Use of fluorescent derivative of ouabain: Salinity and teleost chloride cells. Cell Tissue Research . Vol. 260, pp.529-553.
- Pisam, M.; Caroff, A. and Rambour, A. , 1987.** Tow types of chloride cells in the gill epithelium of a freshwater-adapted euryhaline fish: *Lebistes reticulatus* their modifications during adaptation to saltwater. Am. J. Anat . Vol. 179, pp.40- 50.
- Pisam, M.; Prunet, P.; Boeuf, G. and Rambour, A. , 1990.** Ultrastructural features of mitochondria-rich cells in stenohalin fresh water and seawater fishes. Am. J. Anat. Vol. 187, pp.265-285.
- Pisam, M.; Le Molal, C.; Auperin, B.; Prunet, P. and Rambour, A. , 1995.** Apical structure of mitochondria-rich alpha and beta cells in euryhalin fish gill: Their behaviour in various living conditions. Anat. Rec. Vol. 241, pp.13-24.
- Pisam, M.; Massa, F.; Jammet , C. and Prunet, P. , 2000.** Chronology of the appearance of  $\beta$  , A, and  $\alpha$  Mitochondria-rich cells in the gill epithelium during ontogenesis of the brown trout (*Salmo trutta*). The Anatomical Record . Vol. 259, No. 3. pp. 301-303.
- Shikano, T. and Fujio, Y. , 1998.** Immunolocalization of  $\text{Na}^+/\text{K}^+$  - ATPase in the branchial epithelium of chum salmon fry during seawater and freshwater acclimation. The Journal of Experimental Biology. Vol. 201, pp. 3031-3040.
- Wong, C.K. and Chan, D.K. , 1999.** Chloride cell subtypes in the gill epithelium of Japanese eel *Anguilla japonica*. Am. J. Physiol . Vol. 277, pp.517-522.

## Ultra-structure of Ionocyte cells in gills of *Silurus glanis* of Mahabad Dam, Kordestan province

**Khodabandeh S.<sup>(1)\*</sup> and Shahreyari Moghadam M.<sup>(2)</sup>**

surp78@yahoo.com

1- Department of Fisheries, Faculty of Natural Resource and Marine Sciences, University of Tarbiat Modares, P.O.Box: 14155-356 Noor, Iran

2- Department of Fisheries, Hammon International Wetland Center, Zabol University

Received: April 2006

Accepted: May 2007

**Keywords:** Gill, Ionocyte, *Silurus glanis*, Mahabad, Iran

### *Abstract*

Gills of catfish *Silurus glanis* (300g weight) of Mahabad Dam were examined for structural attributes in 2004. Immediately after catch, gills were removed and placed in Bouin and Glutaraldehyde for structural and microscopic examinations. For classical histological assessment, samples were stained with Hematoxylin and Eosin and examined under light microscope. For electron microscopy, cuts 90 nanometers each were prepared and stained with Uranyl Acetate and Lead Citrate, covered with silver, examined and photographed.

We found the gill cells being composed of ionocyte  $\alpha$ ,  $\beta$ , accessory, mucous, pillar and mosaic cells. The ionocytes were located at the base of the gill rakers and intra-raker spaces. These structural attributes of ionocyte cells demonstrate their active role in osmotic regulation of catfish.

---

\* Corresponding author